



Deteção remota e processamento Imagem



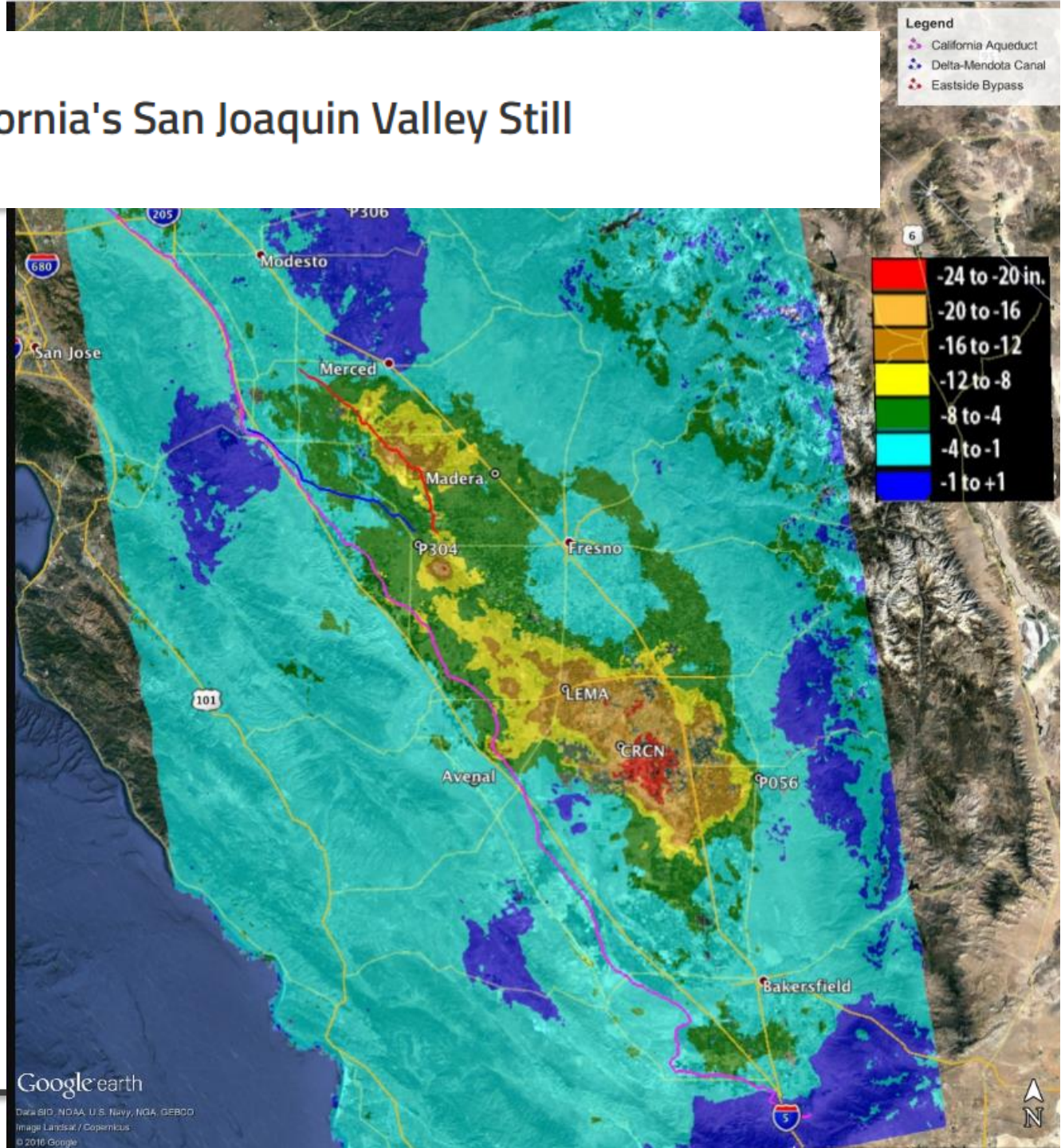
Princípios Físicos da Deteção Remota



NASA Data Show California's San Joaquin Valley Still Sinking

Since the 1920s, excessive pumping of groundwater at thousands of wells in California's San Joaquin Valley has caused land in sections of the valley to subside, or sink, by as much as 28 feet (8.5 meters).

The subsidence maps in the new report were created by analyzing satellite data from the European Space Agency's Sentinel-1A satellite from March 2015 to Sept. 2016



Capitulo 6 – Princípios Físicos da Detecção Remota

- Características da radiação eletromagnética
- Equações de Maxwell
- Polarização das ondas
- Interferência
- Fontes de radiação eletromagnética
- Radiação Solar
- Conversão DN para radiância



Características da Radiação eletromagnética

Os sistemas de deteção remota que abordamos neste curso são sistemas baseados na radiação eletromagnética.

Modelo das Partículas (Planck)

A energia é transportada por fotões, ou quanta, que viajam à velocidade da luz e cuja energia é proporcional à frequência de oscilação.

$$Q = h\nu$$



$$c = \lambda\nu$$

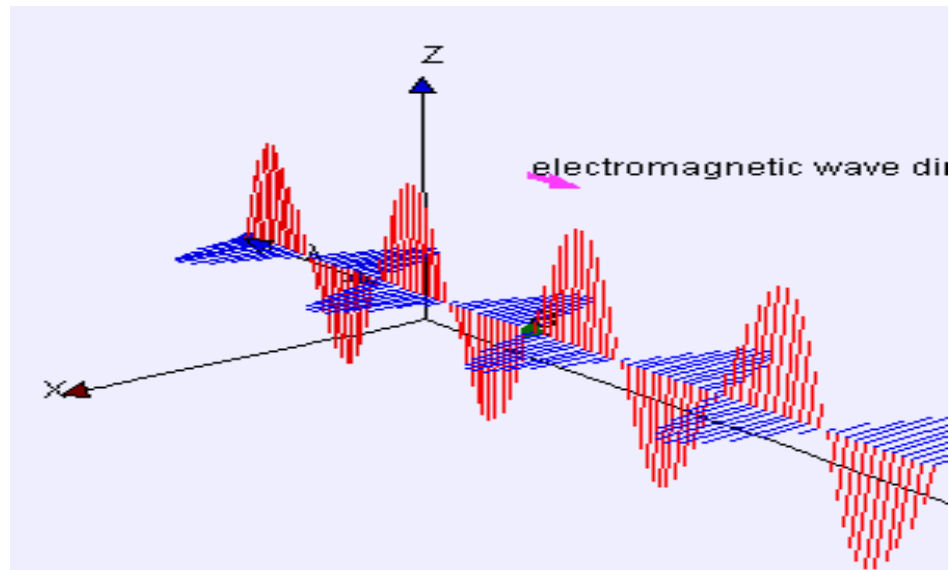


$$Q = \frac{hc}{\lambda}$$

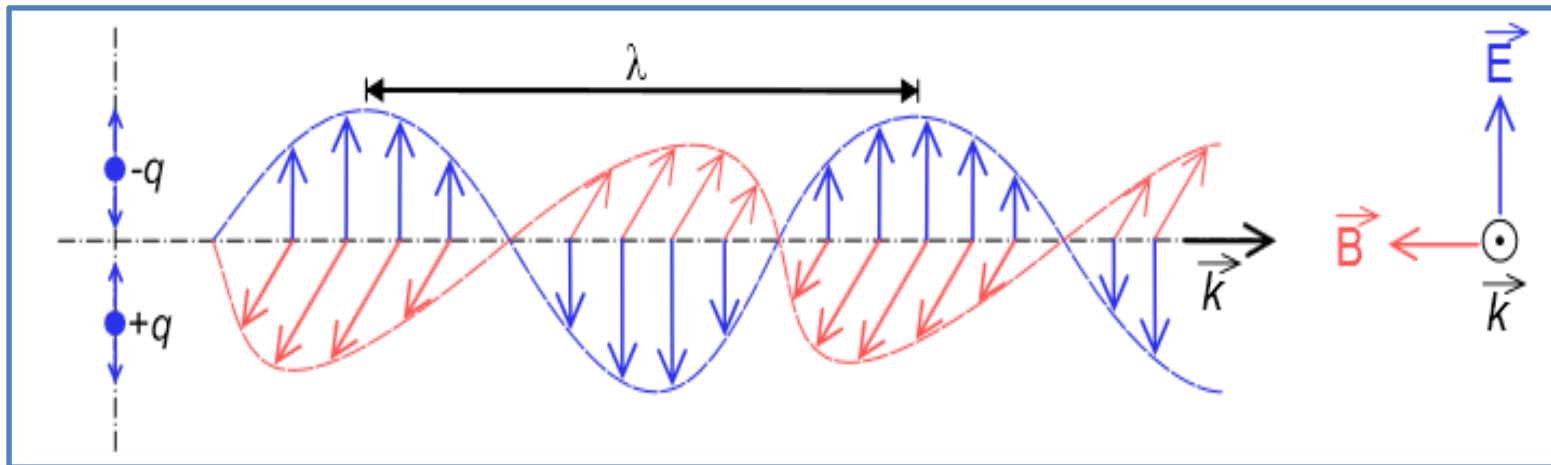
Q é a energia de um quantum (em Joules), h a constante de Planck (6.626×10^{-34} J.s) ν a frequência em Hz (Hertz) e c a velocidade da luz.

Modelo das Ondas

A teoria das ondas postula que a radiação electromagnética é um processo ondulatório composto por um campo elétrico e um campo electromagnético perpendiculares entre si e à direção de propagação.



Características da Radiação eletromagnética



E : campo eléctrico; **B** : campo magnético; **k** : deslocamento

- Frequência (f): numero de ondas completas que passam por um ponto por unidade de tempo (segundo)
- Período (T): tempo necessário para uma onda dar uma volta completa pelo mesmo ponto

Características da Radiação eletromagnética

Equações c

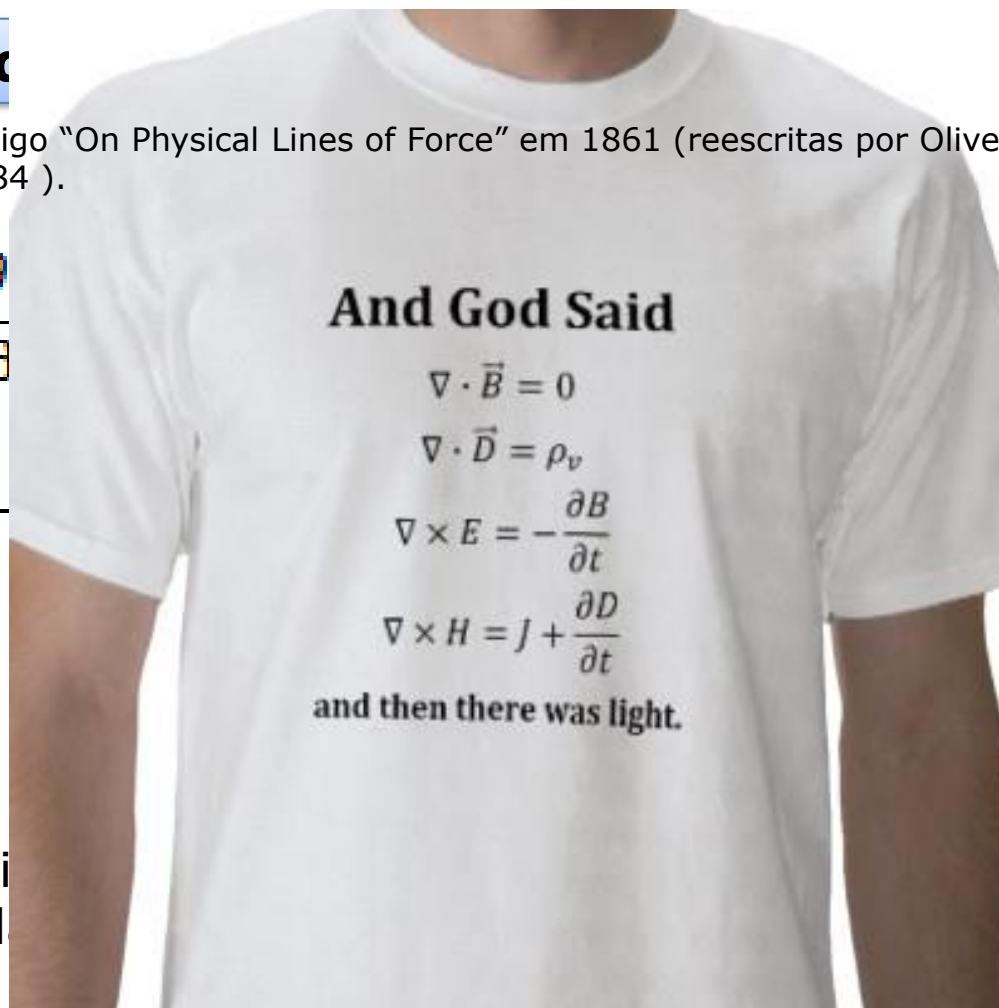
Publicadas num artigo "On Physical Lines of Force" em 1861 (reescritas por Oliver Heaviside e Willard Gibbs , que em 1884).

$$\nabla \times \mathbf{H} = \frac{\partial \mathbf{D}}{\partial t} + \mathbf{j}$$

$$\nabla \times \mathbf{E} = -\frac{\partial \mathbf{B}}{\partial t}$$

Em que:

Como rotaci
 \mathbf{j} é a densid
elétrica.



ocamento

o elétrico

o magnético

ção magnética

a, usado

da carga

Para um meio homogéneo e isotrópico distante de qualquer fonte emissora, os campos **D** e **H** estão relacionados com os campos **E** e **B** pelas expressões:

$$\mathbf{D} = \epsilon \mathbf{E} \qquad \mathbf{B} = \mu \mathbf{H}$$

Em que:

ϵ é a constante dielétrica ou permitividade elétrica e
 μ é a permeabilidade magnética.

No caso do vácuo, que é um meio linear, homogéneo e isotrópico, as constantes elétricas são designadas por ϵ_0 e μ_0 .



Características da Radiação eletromagnética

$$\vec{\nabla} \cdot \vec{E} = 0 \Leftrightarrow \frac{\partial E_x}{\partial x} + \frac{\partial E_y}{\partial y} + \frac{\partial E_z}{\partial z} = 0$$

$$\vec{\nabla} \cdot \vec{B} = 0 \Leftrightarrow \frac{\partial B_x}{\partial x} + \frac{\partial B_y}{\partial y} + \frac{\partial B_z}{\partial z} = 0$$

$$\vec{\nabla} \times \vec{E} = -\frac{\partial \vec{B}}{\partial t} \Leftrightarrow \begin{vmatrix} \hat{i} & \hat{j} & \hat{k} \\ \frac{\partial}{\partial x} & \frac{\partial}{\partial y} & \frac{\partial}{\partial z} \\ E_x & E_y & E_z \end{vmatrix} = -\frac{\partial}{\partial t} \begin{pmatrix} B_x \\ B_y \\ B_z \end{pmatrix} \Leftrightarrow \begin{matrix} \frac{\partial E_z}{\partial y} - \frac{\partial E_y}{\partial z} = -\frac{\partial B_x}{\partial t} \\ \frac{\partial E_x}{\partial z} - \frac{\partial E_z}{\partial x} = -\frac{\partial B_y}{\partial t} \\ \frac{\partial E_y}{\partial x} - \frac{\partial E_x}{\partial y} = -\frac{\partial B_z}{\partial t} \end{matrix}$$

$$\vec{\nabla} \times \vec{B} = \varepsilon_0 \mu_0 \frac{\partial \vec{E}}{\partial t} \Leftrightarrow \begin{vmatrix} \hat{i} & \hat{j} & \hat{k} \\ \frac{\partial}{\partial x} & \frac{\partial}{\partial y} & \frac{\partial}{\partial z} \\ B_x & B_y & B_z \end{vmatrix} = \varepsilon_0 \mu_0 \frac{\partial}{\partial t} \begin{pmatrix} E_x \\ E_y \\ E_z \end{pmatrix} \Leftrightarrow \begin{matrix} \frac{\partial B_z}{\partial y} - \frac{\partial B_y}{\partial z} = \varepsilon_0 \mu_0 \frac{\partial E_x}{\partial t} \\ \frac{\partial B_x}{\partial z} - \frac{\partial B_z}{\partial x} = \varepsilon_0 \mu_0 \frac{\partial E_y}{\partial t} \\ \frac{\partial B_y}{\partial x} - \frac{\partial B_x}{\partial y} = \varepsilon_0 \mu_0 \frac{\partial E_z}{\partial t} \end{matrix}$$

Características da Radiação eletromagnética

As equações de Maxwell podem ser manipuladas e obtemos:

$$-\nabla^2 \mathbf{E} = -\frac{\partial \nabla \times \mathbf{B}}{\partial t} = -\frac{\partial}{\partial t} \left(\mu_0 \epsilon_0 \frac{\partial \mathbf{E}}{\partial t} \right)$$

$$-\nabla^2 \mathbf{B} = \mu_0 \epsilon_0 \frac{\partial \nabla \times \mathbf{E}}{\partial t} = \mu_0 \epsilon_0 \left(-\frac{\partial \mathbf{B}}{\partial t} \right)$$

$$\nabla \times \begin{cases} \nabla \times \mathbf{H} = \frac{\partial \mathbf{D}}{\partial t} + \mathbf{j} \\ \nabla \times \mathbf{E} = -\frac{\partial \mathbf{B}}{\partial t} \end{cases}$$

De onde resulta a equação da onda para o campo elétrico:

$$\frac{\partial^2 \mathbf{E}}{\partial t^2} - \frac{1}{\mu_0 \epsilon_0} \nabla^2 \mathbf{E} = 0$$

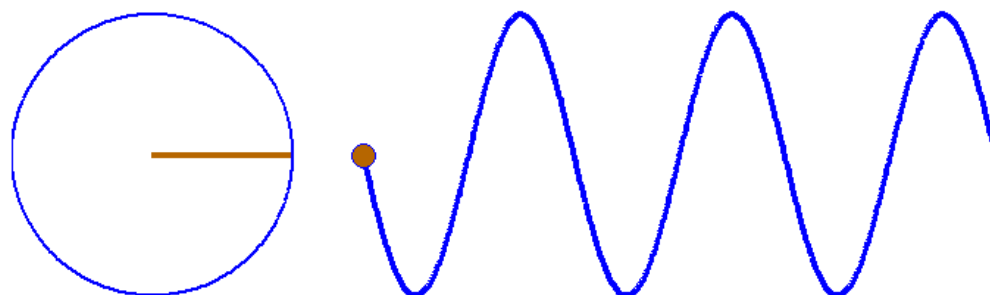
$$\Rightarrow c_0^2 = \frac{1}{\mu_0 \epsilon_0}$$

$$\frac{\partial^2 \mathbf{E}}{\partial t^2} - c_0^2 \nabla^2 \mathbf{E} = 0$$

$$\epsilon_0 = 8.8541 \times 10^{-12} \text{ F} \cdot \text{m}^{-1}; \quad \mu_0 = 4\pi \times 10^{-7} \text{ H/m} = 1.25663 \times 10^{-6} \text{ N/A}^2$$

Ondas eletromagnéticas planas

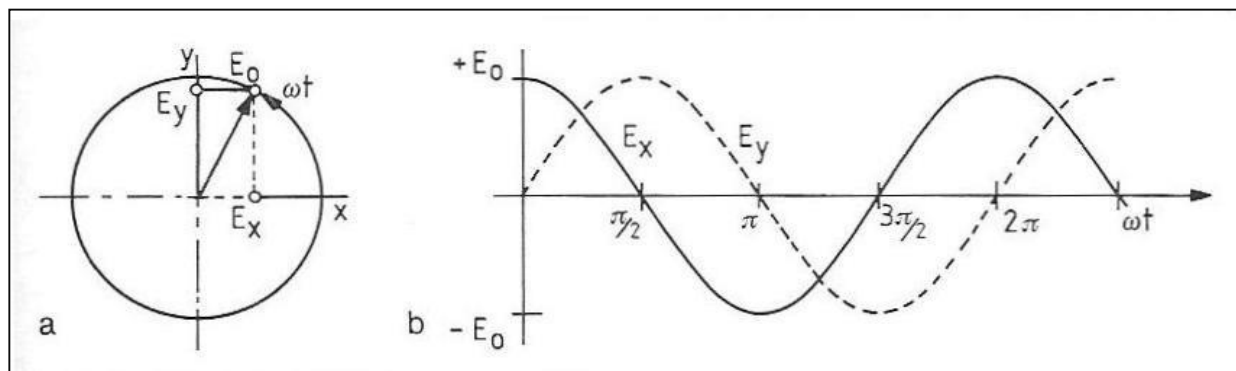
Começemos por considerar uma oscilação fixa no espaço (sem propagação no espaço).



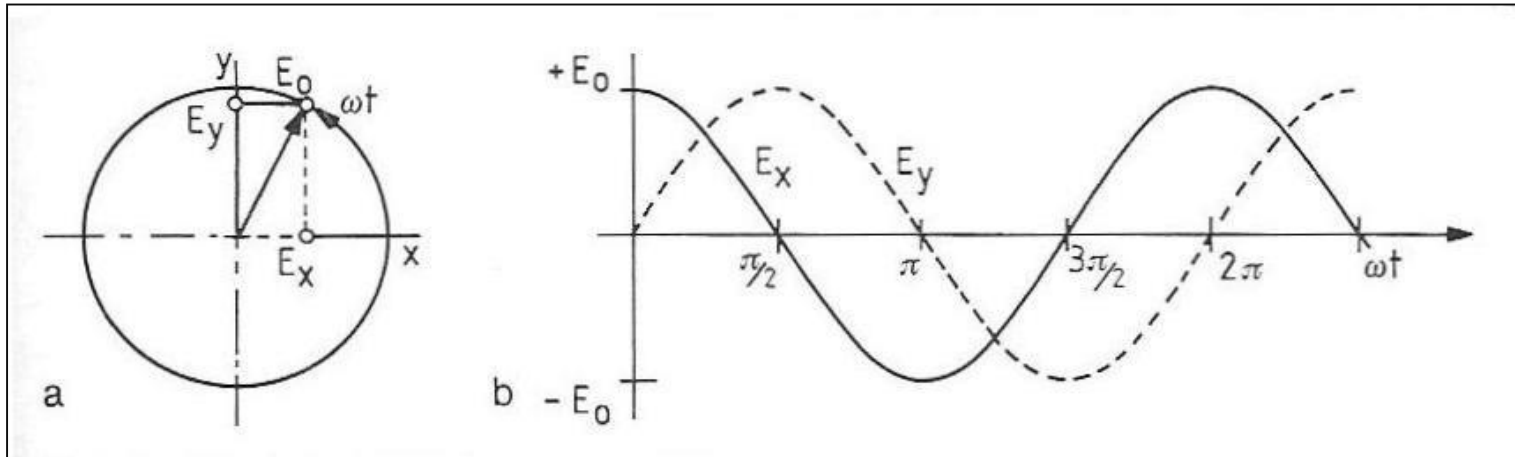
$$\frac{\partial^2 \mathbf{E}}{\partial t^2} - c_0^2 \nabla^2 \mathbf{E} = 0$$

$$c_0^2 = \frac{1}{\mu_0 \epsilon_0}$$

$$\frac{d^2 \mathbf{E}}{dt^2} + \omega^2 \mathbf{E} = 0$$



Ondas eletromagnéticas planas



$$\frac{d^2 E}{dt^2} + \omega^2 E = 0$$

Em que E é o campo elétrico e ω é uma constante (**frequência angular**). Uma possível solução para esta equação é:

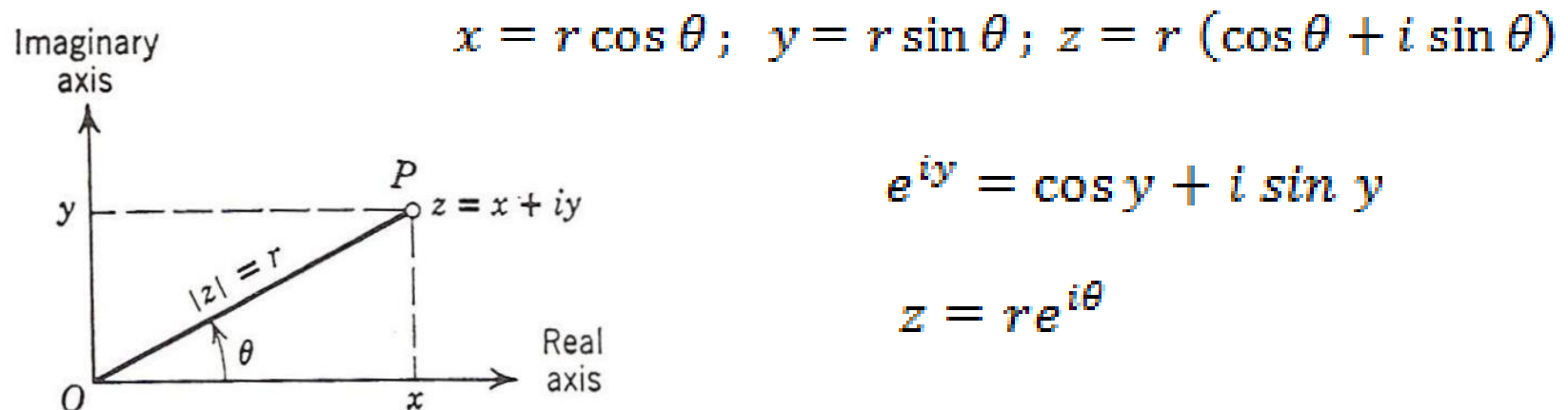
$$E = E_0 \cos \omega t$$

Ondas eletromagnéticas planas

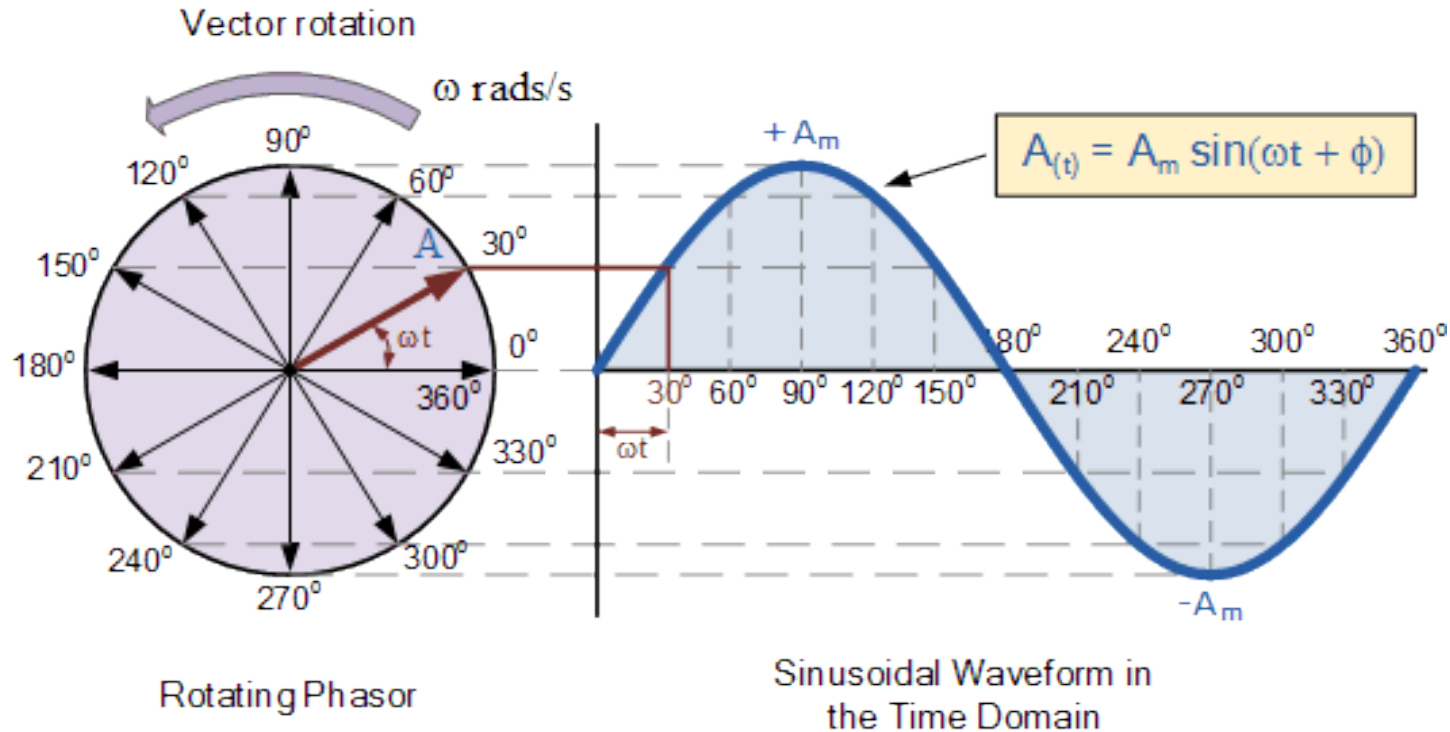
Outra possível solução seria: $E = E_0 \sin \omega t$

Para englobar as duas possíveis soluções é usual representar o movimento no plano complexo com o eixo dos xx real e um eixo dos yy imaginário. A solução é:

$$E = E_0 (\cos \omega t + i \sin \omega t) = E_0 \exp(i\omega t)$$



Ondas eletromagnéticas planas



$$E(t) = E_0 \sin(\omega t + \phi) = E_0 \sin\left(\frac{2\pi}{T} t + \phi\right)$$

E_0 é amplitude; ω é frequência angular; T é o período; ϕ é fase

Ondas eletromagnéticas no espaço

Com propagação no espaço,
na direção z:

$$\frac{\partial^2 \mathbf{E}}{\partial t^2} - c^2 \frac{\partial^2 \mathbf{E}}{\partial z^2} = 0$$

A solução é: $\mathbf{E}(z, t) = E_0 \cos(\omega t - kz)$

Em que k uma constante relacionada com o numero de oscilações ao longo da direção z. As equações de Maxwell ficam então:

$$\left\{ \begin{array}{l} E_x(z, t) = E_0 \cos(\omega t - kz) \\ E_y(z, t) = 0 \\ E_z(z, t) = 0 \end{array} \right.$$

$$k = \frac{2 \cdot \pi}{\lambda}$$

$$\omega = \frac{2 \cdot \pi}{T} = 2 \cdot \pi \cdot f$$

Esta solução representa uma onda que se propaga na direção z (a onda transporta a energia eletromagnética, neste sentido)

Ondas electromagnéticas no espaço

Outra solução das equações de Maxwell, rodada 90°, é:

$$\left\{ \begin{array}{l} E_x(z, t) = 0 \\ E_y(z, t) = E_0 \cos(\omega t - kz) \\ E_z(z, t) = 0 \end{array} \right.$$

Ou seja: no plano yy.

A solução geral das equações de Maxwell, é:

$$\left\{ \begin{array}{l} E_x(z, t) = E_{0,x} \cos(\omega t - kz - \varphi_x) \\ E_y(z, t) = E_{0,y} \cos(\omega t - kz - \varphi_y) \\ E_z(z, t) = 0 \end{array} \right.$$

A diferença de fase $\varphi_y - \varphi_x$ determina o estado de polarização da onda eletromagnética.

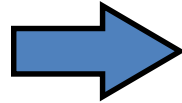


Polarização das ondas eletromagnéticas

A polarização é dada pela direção do campo elétrico E.

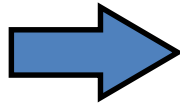
$$\varphi_y - \varphi_x = 0$$

$$\varphi_y - \varphi_x = \pi \quad (\text{ou } -\pi)$$



Polarização linear

$$\varphi_y - \varphi_x = \frac{\pi}{2}$$



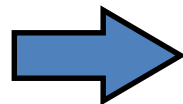
$$E_{ox} \neq E_{oy}$$

Polarização elíptica de esquerda

$$E_{ox} = E_{oy}$$

Polarização circular de esquerda

$$\varphi_y - \varphi_x = -\frac{\pi}{2}$$



$$E_{ox} \neq E_{oy}$$

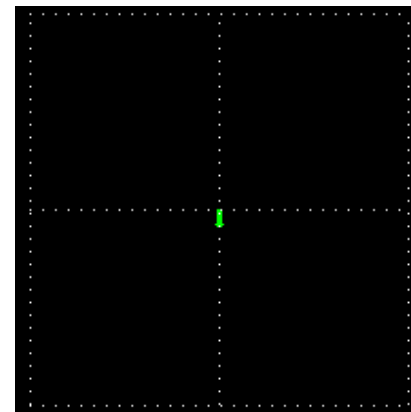
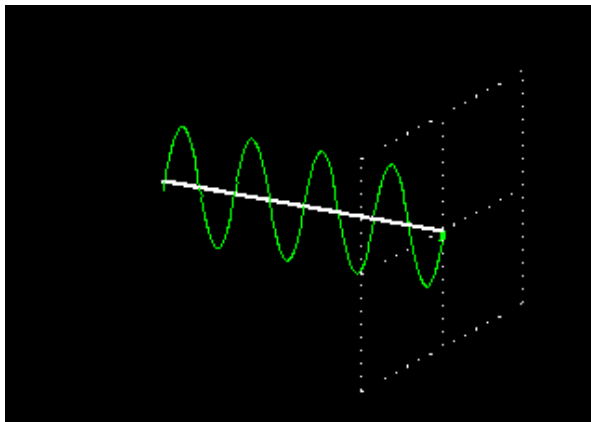
Polarização elíptica de direita

$$E_{ox} = E_{oy}$$

Polarização circular de direita

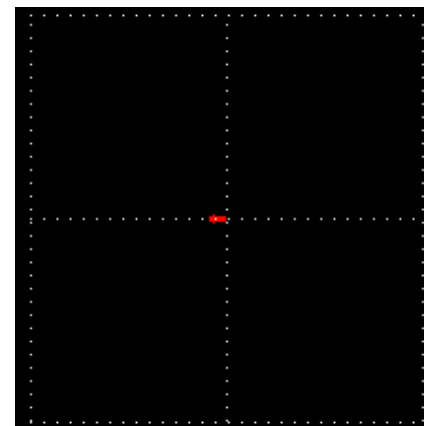
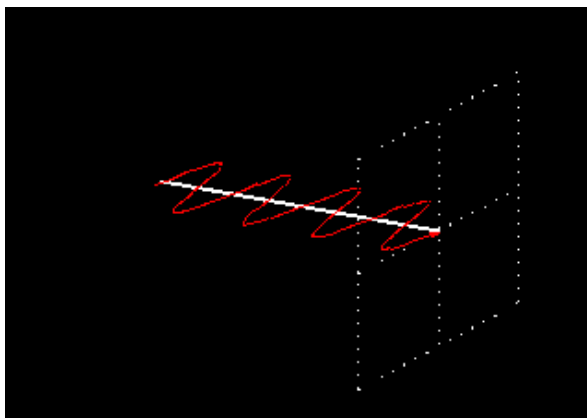
Polarização das ondas electromagnéticas

Por definição, a polarização de uma onda eletromagnética é o plano no qual se encontra a componente eléctrica da onda.



Linear

Vertical

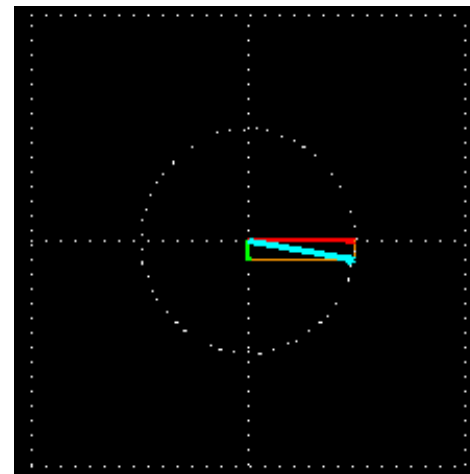
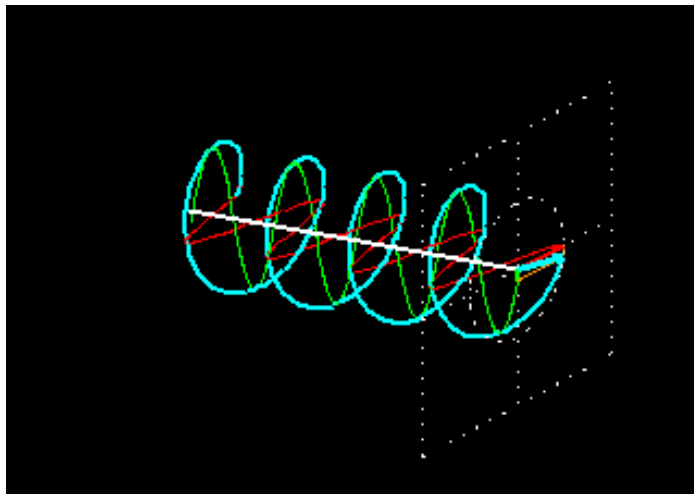


Horizontal

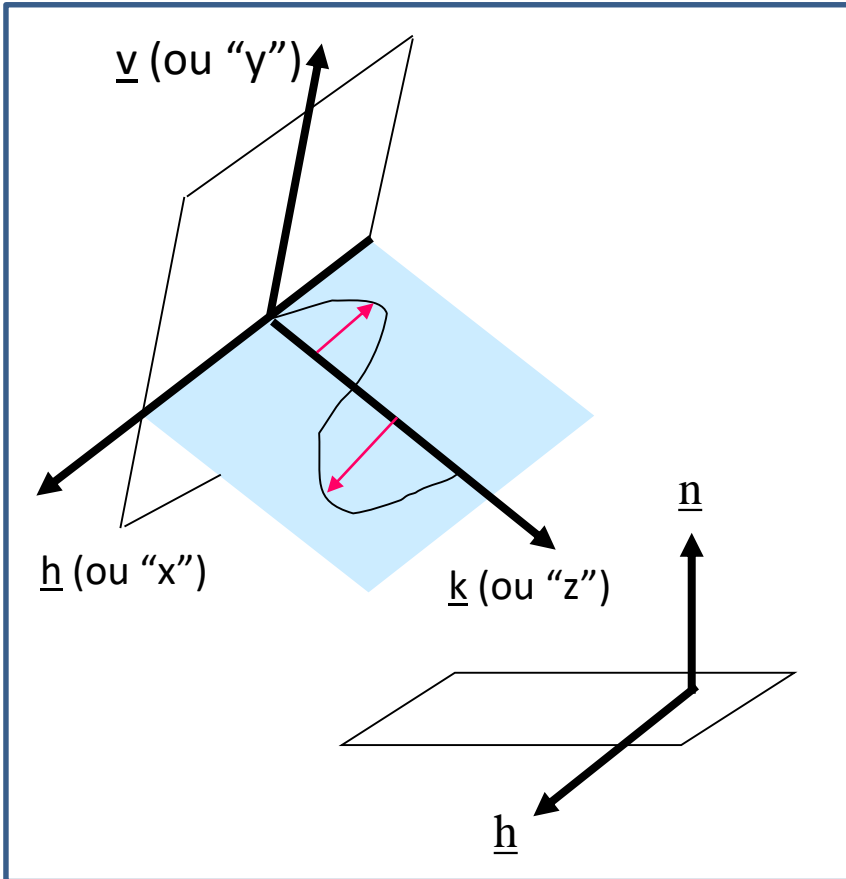
Polarização das ondas eletromagnéticas

A combinação de duas ondas linearmente polarizadas, uma vertical e outra horizontal, de mesma amplitude e eletricamente desfasadas de 90 graus, $\varphi_y - \varphi_x = \frac{\pi}{2}$ resulta em uma onda circularmente polarizada.

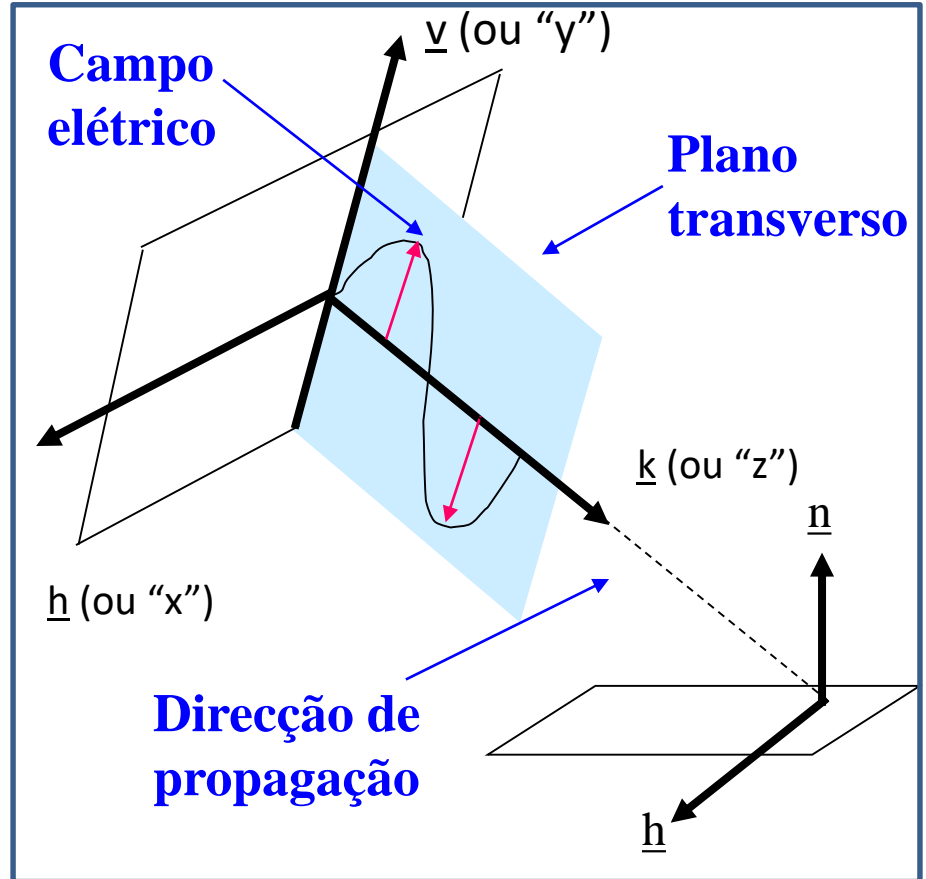
Polarização Circular



Polarização das ondas eletromagnéticas



Polarização horizontal
(Ex. RADARSAT HH)



Polarização vertical
(Ex. Sentinel-1 VV)



Ciências
ULisboa

Tejo VH





Ciências
ULisboa

Tejo VV





Ciências
ULisboa

Sentinel-1A's
radar shows
the
metropolitan
area of
Portugal's
capital,
Lisbon, on 8
October
2014.



Interferência

Interferência

fenómeno caracterizado por uma variação da intensidade (espacial ou temporal) da radiação eletromagnética na sequência da sobreposição de duas ondas eletromagnéticas **com a mesma frequência** e que se propagam na mesma direção. A intensidade não é igual ao somatório das intensidades de cada uma das duas ondas.

Interferência



Fontes coerentes

fontes que emitem radiação eletromagnética com uma diferença de fase constante no tempo (ou no espaço).

Exemplos de fontes coerentes são:

LASER

RADAR



Interferência

Falamos em:

Coerência Espacial

diferença de fase observada no instante t entre os pontos $P1$ e $P2$. Se essa diferença de fase se mantiver constante no tempo fala-se em coerência espacial perfeita.

Coerência Temporal

diferença de fase observada no ponto P nos instantes t e $t+\Delta t$. Se, por um dado Δt , essa diferença de fase se mantiver constante, por cada t , fala-se em coerência temporal perfeita.

No caso da interferometria radar a interferência é observada ao nível da fase (e não da intensidade) sendo esta dependente da morfologia do terreno ou das suas variações.

Usando a notação complexa para o campo elétrico

$$E_1 = E_0 \cdot e^{i \left(2\pi \cdot \left[\frac{t}{T} - \frac{r_1}{\lambda} \right] + \varphi_1 \right)} \quad E_2 = E_0 \cdot e^{i \left(2\pi \cdot \left[\frac{t}{T} - \frac{r_2}{\lambda} \right] + \varphi_2 \right)}$$

O termo de interferência é dado por

$$E_1^* \cdot E_2 = E_{0,1} \cdot e^{-i \left(2\pi \cdot \left[\frac{t}{T} - \frac{r_1}{\lambda} \right] + \varphi_1 \right)} \cdot E_{0,2} \cdot e^{i \left(2\pi \cdot \left[\frac{t}{T} - \frac{r_2}{\lambda} \right] + \varphi_2 \right)} = |E_0|^2 \cdot e^{i \left(\frac{2\pi}{\lambda} \cdot [r_1 - r_2] - [\varphi_1 - \varphi_2] \right)}$$

Interferência

$$z = re^{i\phi} = E_1^* \cdot E_2 = |E_0|^2 \cdot e^{i\left(\frac{2\pi}{\lambda} \cdot [r_1 - r_2] - [\varphi_1 - \varphi_2]\right)}$$

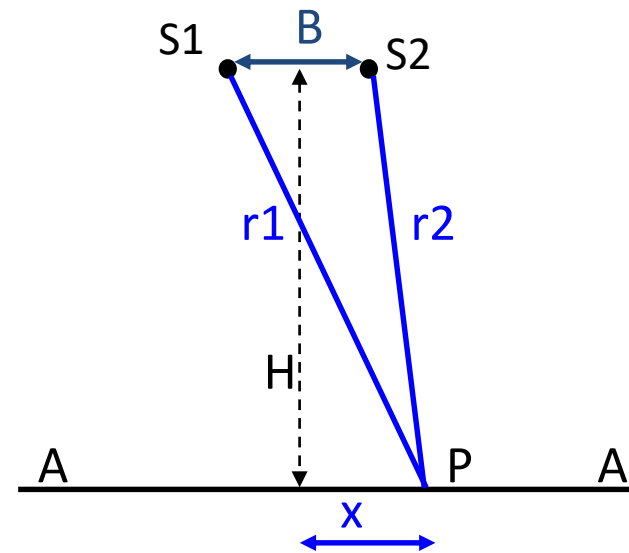
O argumento (ângulo θ) do numero complexo z fornece a informação contida no interferograma SAR.

$$\phi = \frac{2\pi}{\lambda} \cdot [r_1 - r_2] - [\varphi_1 - \varphi_2]$$

Diferença de fase constante devido à coerência das fontes de radiação electromagnética

$$\varphi_1 - \varphi_2 = 0$$

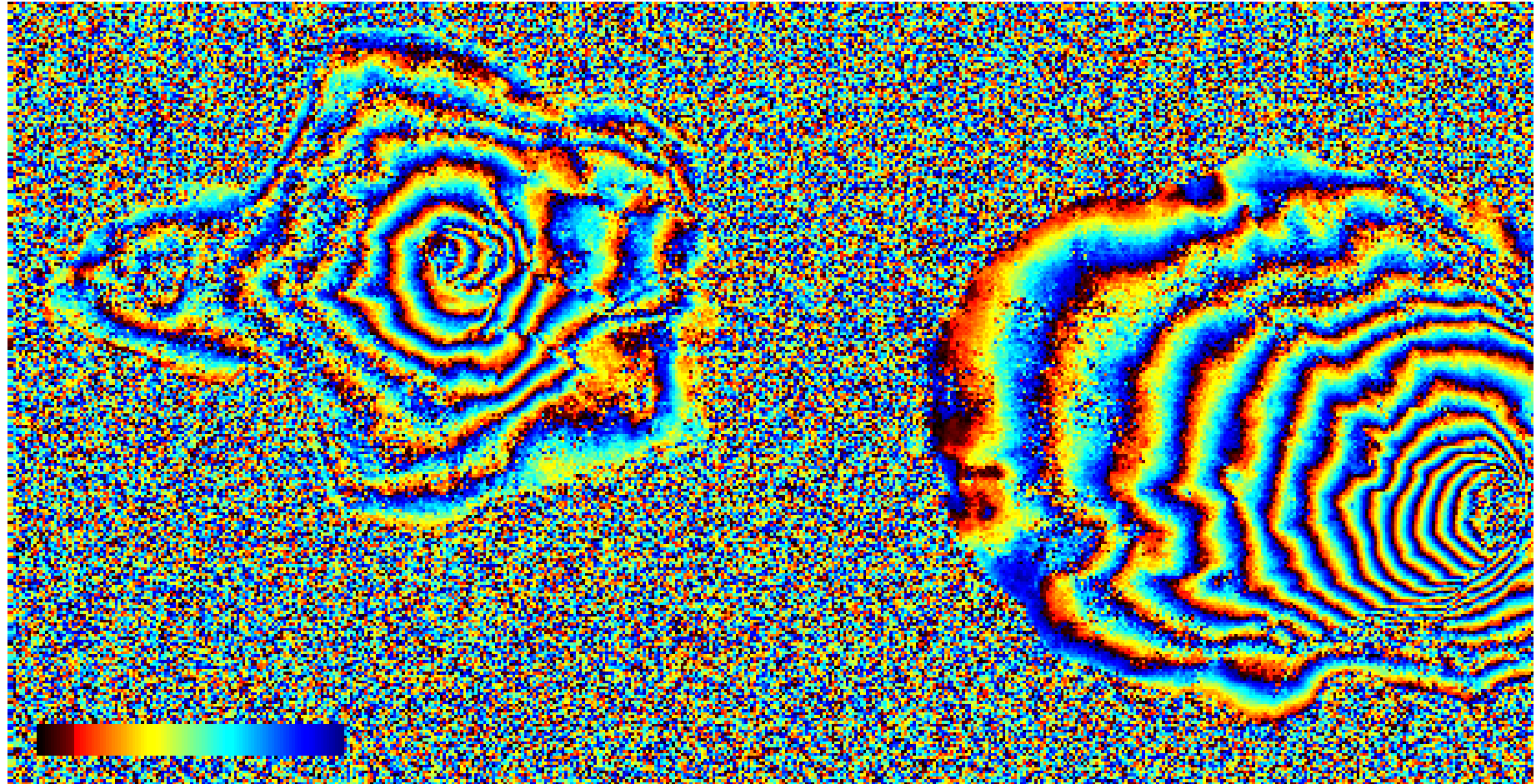
$$\phi = \frac{2\pi}{\lambda} \cdot [r_1 - r_2]$$





Ciências
ULisboa

Interferência RADAR



Fontes de radiação eletromagnética

Todos os corpos com temperatura superior a 0°K emitem radiação com comprimento de onda λ variável no espectro eletromagnético.

A quantidade de energia (Radiância) que um objeto radia é função da temperatura do corpo e é dada pela Lei de Planck do corpo negro:

$$L_\nu = \frac{2h\nu^3}{c^2} \cdot \frac{1}{e^{\frac{h\nu}{kT}} - 1}$$

Usualmente com
unidades:
 $\text{Wm}^{-2} \text{sr}^{-1} \text{Hz}^{-1}$

em que k é a constante de Boltzman, $k=1.38 \times 10^{-23} \text{ J K}^{-1}$, e h é a constante de Planck ($6.6261 \times 10^{-34} \text{ J s}$)

Radiação Térmica

A equação de Planck pode ser expressa em termos de comprimento de onda em vez de frequência e neste caso a **Radiância Espectral** é dada por:

$$L_{\lambda} = \frac{2hc^2}{\lambda^5} \cdot \frac{1}{e^{\frac{hc}{\lambda kT}} - 1} \quad Wm^{-3}sr^{-1}$$

Se $\frac{h \cdot c}{\lambda \cdot k \cdot T} \ll 1$, o que é válido no caso da radiação emitida pela

Terra (T cerca de 290° K) na região das microondas e das frequências radio, então:

$$L_{\lambda} = \frac{2 \cdot k \cdot T}{\lambda^2} \quad \text{Aproximação de Rayleigh-Jeans}$$

As fontes da radiação eletromagnética

Integrando a função de Planck em todos os comprimentos de onda (ou frequências) obtemos a Lei de Stefan-Boltzman:

$$L = \int_0^{\infty} L_{\lambda} d\lambda = \frac{2k^4\pi^4}{15c^2h^3} T^4$$

Integrando em todas as direções, obtemos:

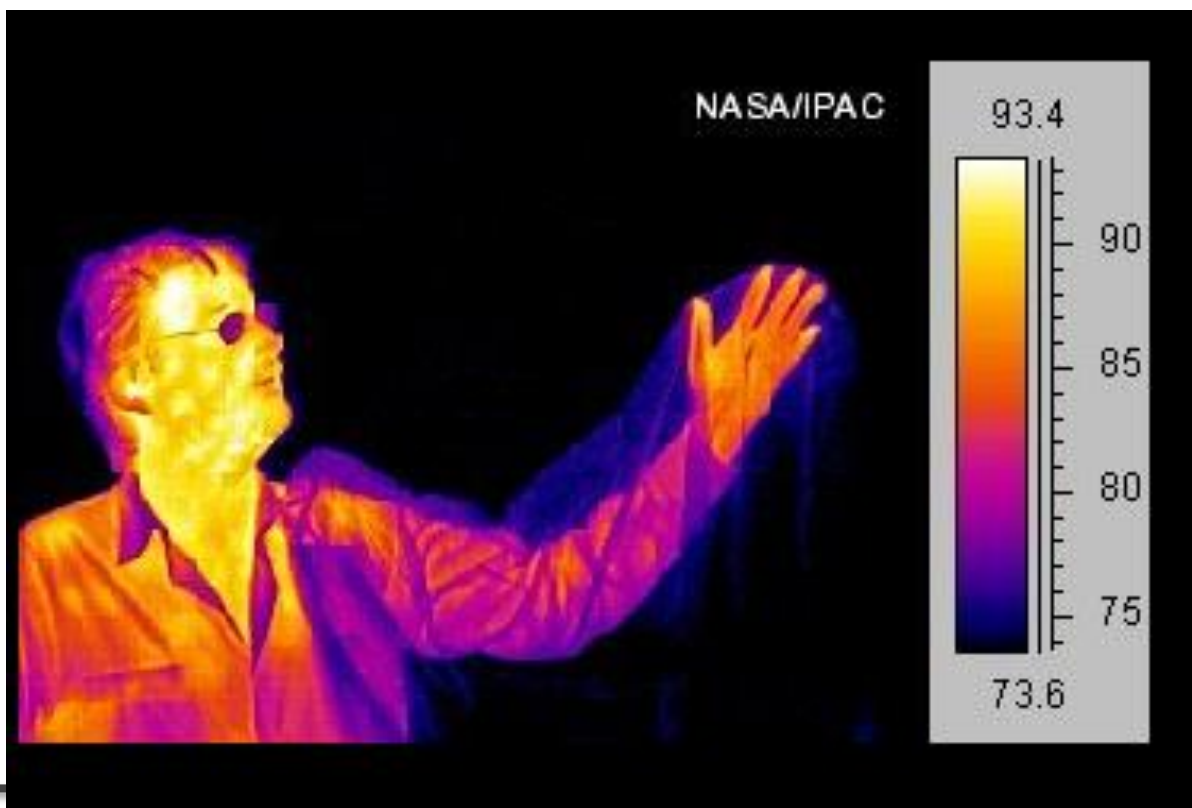
$$\text{(emitância)} \quad M = \int_0^{2\pi} d\phi \int_0^{\frac{\pi}{2}} \sin\theta \cos\theta L d\theta = \sigma T^4 \quad W m^{-2}$$

Com $\sigma = 5.670 \times 10^{-8} \text{ (W m}^{-2} \text{ K}^{-4}\text{)}$, constante de Stefan-Boltzman e T a temperatura em K.

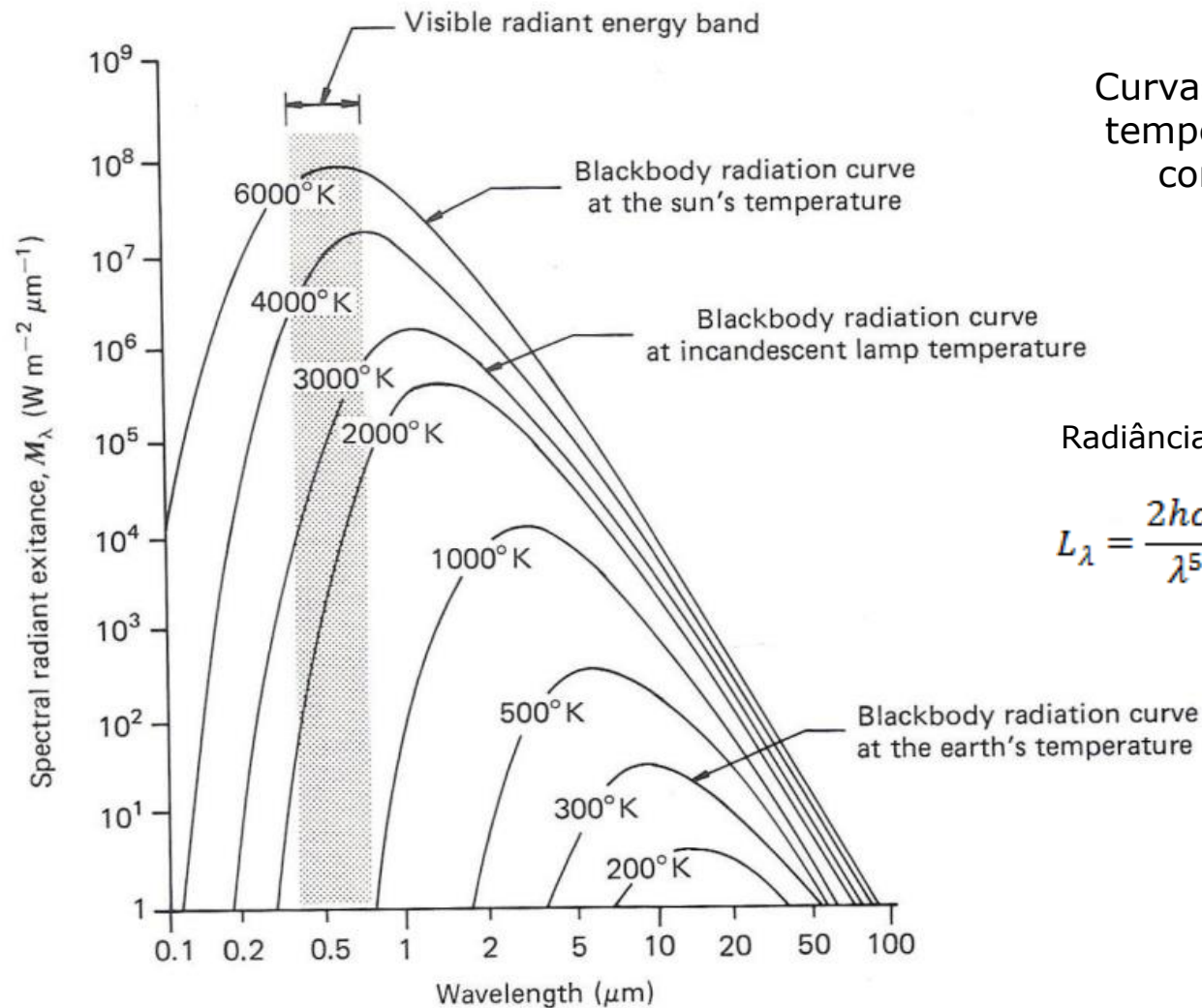


1000 2000 3000 4000 5000 6000 7000 8000 9000 10000 11000 12000

Color of a black body from 800 K to 12200 K. This range of colors approximates the range of colors of stars of different temperatures, as seen or photographed in the night sky.



As fontes da radiação eletromagnética

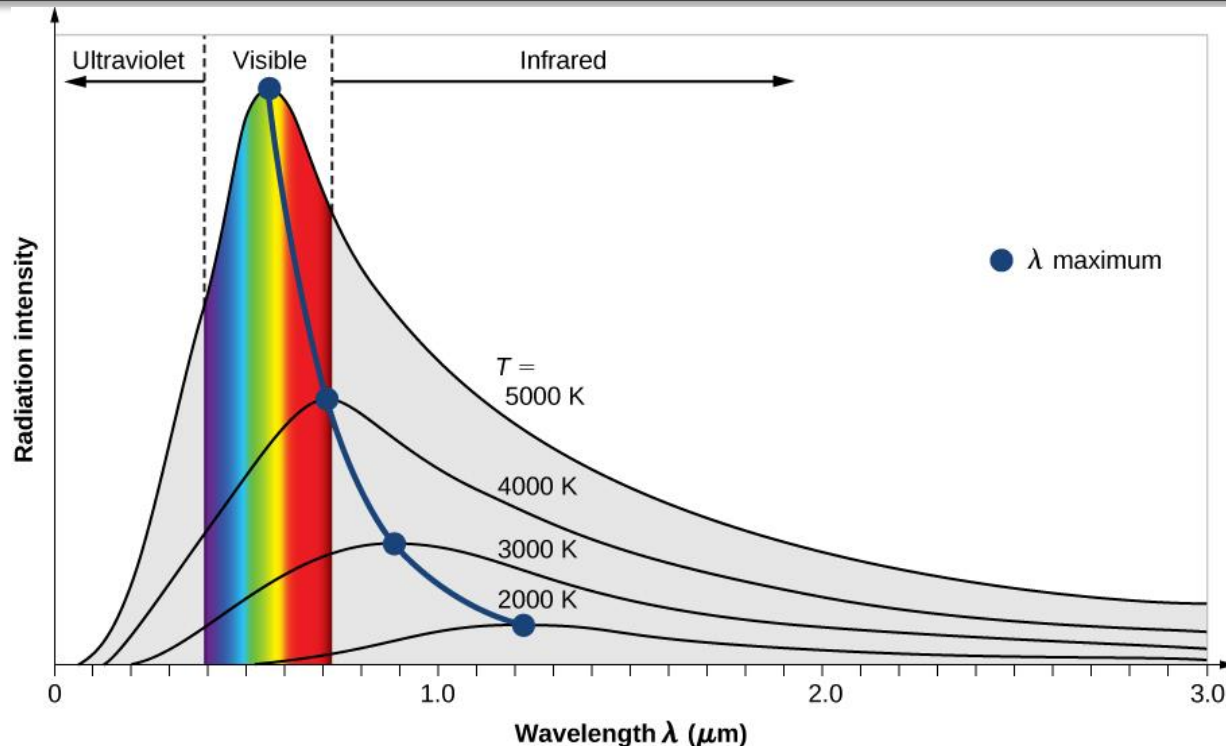


Curvas de Planck para várias temperaturas em função do comprimento de onda

Radiância espectral

$$L_\lambda = \frac{2hc^2}{\lambda^5} \cdot \frac{1}{e^{\frac{hc}{\lambda kT}} - 1} \quad Wm^{-3}sr^{-1}$$

As fontes da radiação eletromagnética

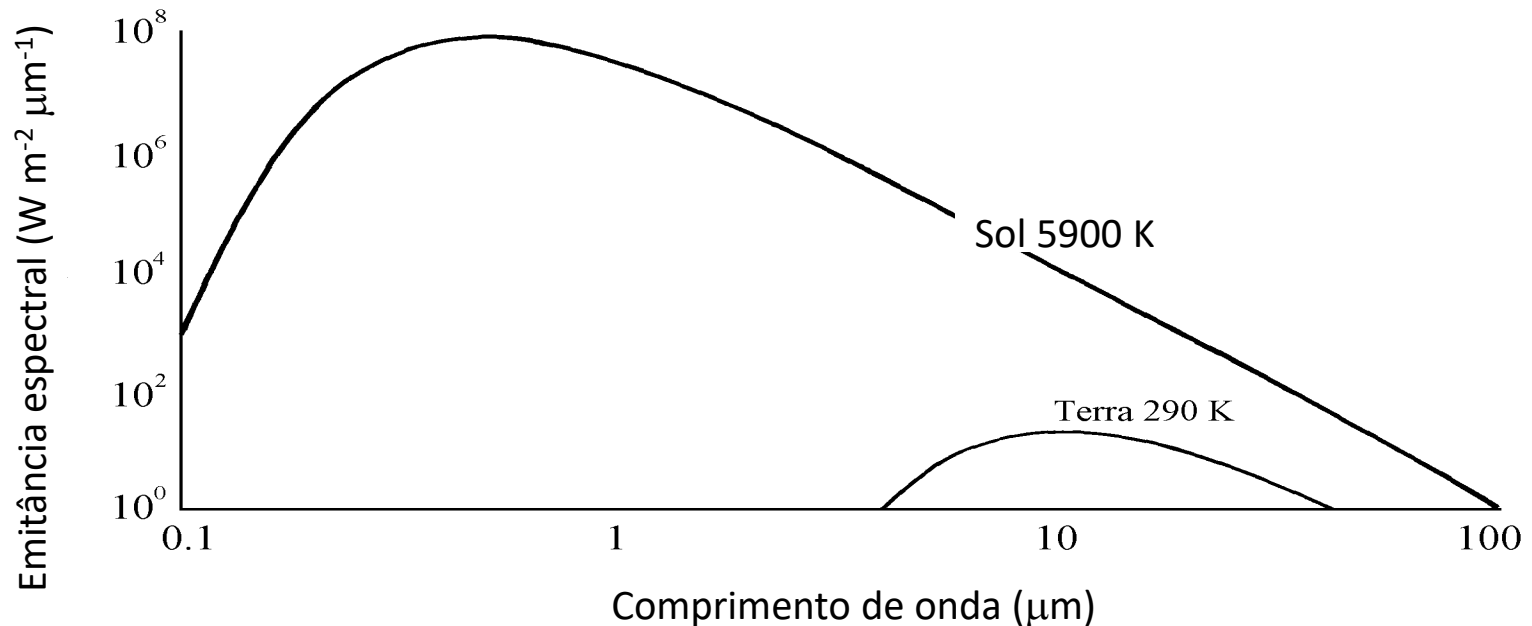


O comprimento de onda para o qual a curva atinge o máximo está relacionada com a sua temperatura pela lei do deslocamento de Wien's. Esta lei é obtida calculando o máximo da curva de Planck é:

$$\lambda_{\text{max}} = \frac{2.989 \times 10^{-3}}{T} \mu\text{m} \quad \text{Temperatura de cor}$$

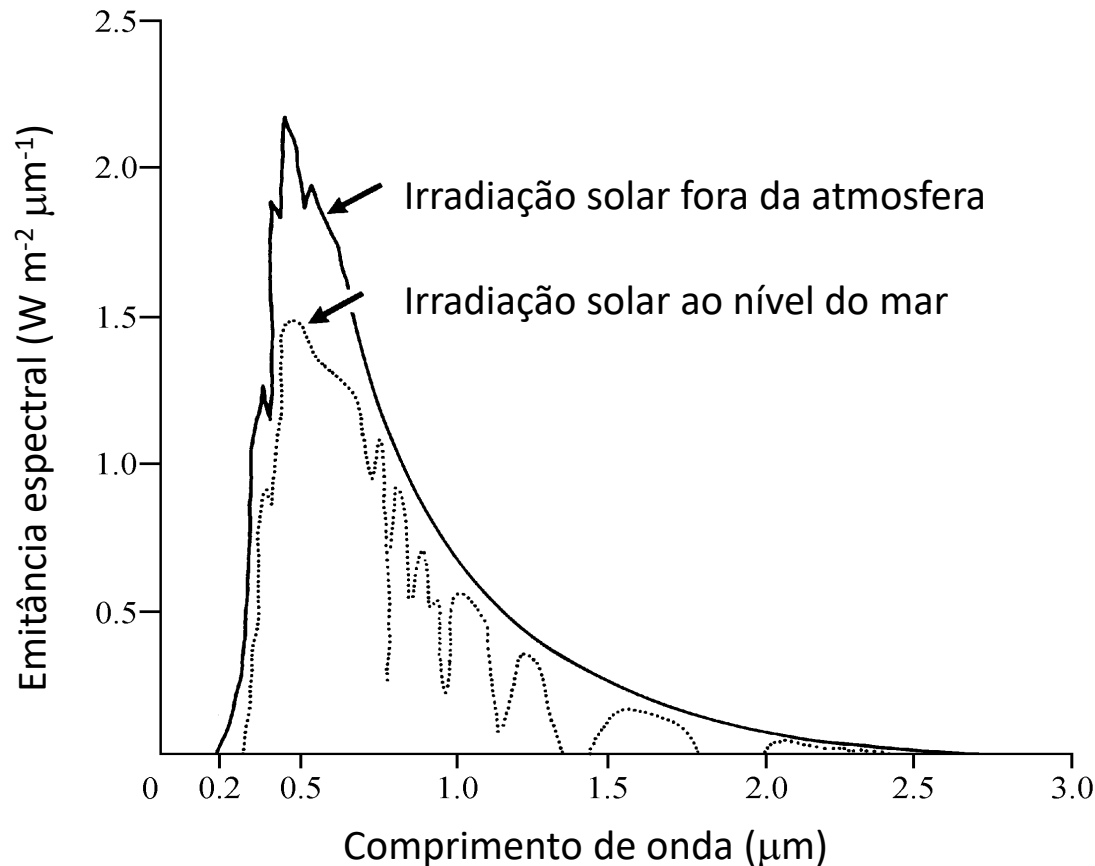
As fontes da radiação eletromagnética

Curvas da emitância espectral de dois corpos com temperaturas próximas do Sol e da Terra



Para $T=290\text{K}$ $\rightarrow \lambda_{\text{max}} = 9.7 \mu\text{m}$ (infravermelho térmico). Para o Sol o valor de comprimento de onda dominante é $0.480 \mu\text{m}$ (amarelo) .

As fontes da radiação eletromagnética



Sobre a superfície terrestre chega apenas uma fração da energia emitida pelo Sol; a atmosfera desempenha uma função de filtragem.

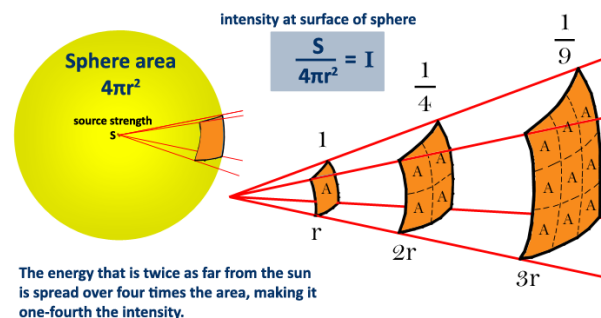
Radiação Solar

Podemos considerar que o Sol emite radiação no interior dum cone que tem como base o disco solar (r) e como altitude a distancia Sol-Terra (d). No topo da atmosfera a irradiância do Sol é dada por:

$$E_{\lambda}^0 = L_{\lambda} \times \frac{\text{área do disco solar}}{(\text{distancia à Terra})^2}$$

$$E_{\text{TOP}} = 1367 \text{ Wm}^{-2}$$

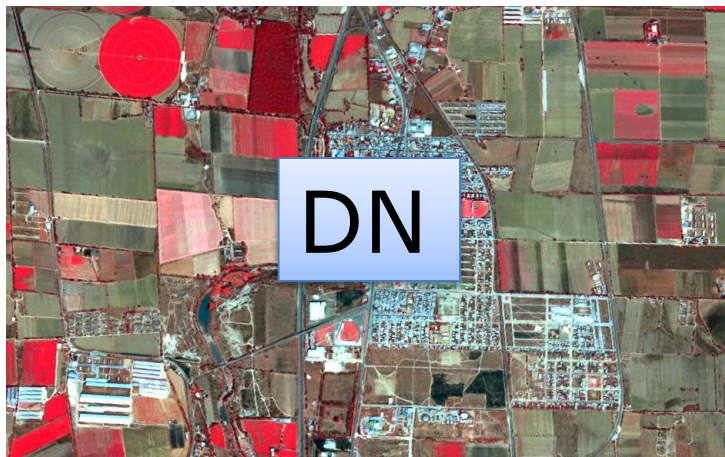
irradiância média exo-atmosférica (600-800 km)



Este valor médio, designado por **constante solar**, foi adotado como padrão pela Organização Meteorológica Mundial.

Conversão de números digitais (DNs) para radiância

O calculo do valor da **radiância espectral** no sensor é essencial para a conversão de dados imagem de múltiplos sensores e plataformas numa quantidade com significado físico numa escala radiométrica comum.



Conversão para radiância dos produtos nível 1

Os valores dos pixels no nível 1 são representados como Q_{cal} .

A conversão dos produtos de nível 1 (Q_{cal}) em radiâncias espectrais ao nível do sensor (L_λ) requer o conhecimento dos valores mínimos e máximos dos fatores de escala originais.

$$L_\lambda = \left(\frac{L_{max,\lambda} - L_{min,\lambda}}{Q_{cal,max} - Q_{cal,min}} \right) \cdot (Q_{cal} - Q_{cal,min}) + L_{min,\lambda}$$

Dinâmica da imagem.
Tipicamente $255 = 2^8 - 1$

DN

= 1

Conversão em reflectância TOA (Top of Atmosphere)

Poderemos obter uma menor variabilidade entre imagens adquiridas em diferentes datas convertendo a reflectância ao nível do sensor na reflectância exo-atmosfera (no topo da atmosfera, TOA), também conhecido como albedo planetário

$$\rho_{\lambda} = \frac{\pi \cdot L_{\lambda} \cdot d^2}{E_{SUN_{\lambda}} \cos \theta_S}$$

ρ_{λ} é a reflectância planetária TOA

L_{λ} é a radiância ao nível do sensor ($W \cdot m^{-2} \cdot sr^{-1} \cdot \mu m^{-1}$)

d é a distância da Terra ao Sol em unidades astronómicas (1UA= 149,597,870,691km)

Conversão para radiância dos produtos nível 1

Parâmetros calibrados para o sensor ETM+ do Landat 7 e irradiância solar exo-atmosférica (ESUN).

L7 ETM+ Sensor ($Q_{calmin} = 1$ and $Q_{calmax} = 255$)							
Band	Spectral range	Center wavelength	$LMIN_{\lambda}$	$LMAX_{\lambda}$	$G_{rescale}$	$B_{rescale}$	$ESUN_{\lambda}$
Units	μm		$W/(m^2 sr \mu m)$		$(W/m^2 sr \mu m)/DN$	$W/(m^2 sr \mu m)$	$W/(m^2 \mu m)$
<i>Low gain (LPGS)</i>							
1	0.452–0.514	0.483	–6.2	293.7	1.180709	–7.38	1997
2	0.519–0.601	0.560	–6.4	300.9	1.209843	–7.61	1812
3	0.631–0.692	0.662	–5.0	234.4	0.942520	–5.94	1533
4	0.772–0.898	0.835	–5.1	241.1	0.969291	–6.07	1039
5	1.547–1.748	1.648	–1.0	47.57	0.191220	–1.19	230.8
6	10.31–12.36	11.335	0.0	17.04	0.067087	–0.07	N/A
7	2.065–2.346	2.206	–0.35	16.54	0.066496	–0.42	84.90
PAN	0.515–0.896	0.706	–4.7	243.1	0.975591	–5.68	1362
<i>High Gain (LPGS)</i>							
1	0.452–0.514	0.483	–6.2	191.6	0.778740	–6.98	1997
2	0.519–0.601	0.560	–6.4	196.5	0.798819	–7.20	1812
3	0.631–0.692	0.662	–5.0	152.9	0.621654	–5.62	1533
4	0.772–0.898	0.835	–5.1	157.4	0.639764	–5.74	1039
5	1.547–1.748	1.648	–1.0	31.06	0.126220	–1.13	230.8
6	10.31–12.36	11.335	3.2	12.65	0.037205	3.16	N/A
7	2.065–2.346	2.206	–0.35	10.80	0.043898	–0.39	84.90
PAN	0.515–0.896	0.706	–4.7	158.3	0.641732	–5.34	1362



Conversion to TOA Radiance

OLI and TIRS band data can be converted to TOA spectral radiance using the radiance rescaling factors provided in the metadata file:

$$L_{\lambda} = M_L Q_{cal} + A_L$$

where:

- L_{λ} = TOA spectral radiance (Watts/(m² * srad * μm))
- M_L = Band-specific multiplicative rescaling factor from the metadata (RADIANCE_MULT_BAND_x, where x is the band number)
- A_L = Band-specific additive rescaling factor from the metadata (RADIANCE_ADD_BAND_x, where x is the band number)
- Q_{cal} = Quantized and calibrated standard product pixel values (DN)

Conversion to TOA Reflectance

OLI band data can also be converted to TOA planetary reflectance using reflectance rescaling coefficients provided in the product metadata file (MTL file). The following equation is used to convert DN values to TOA reflectance for OLI data as follows:

$$\rho_{\lambda}' = M_{\rho} Q_{cal} + A_{\rho}$$

where:

- ρ_{λ}' = TOA planetary reflectance, without correction for solar angle. Note that ρ_{λ}' does not contain a correction for the sun angle.
- M_{ρ} = Band-specific multiplicative rescaling factor from the metadata (REFLECTANCE_MULT_BAND_x, where x is the band number)
- A_{ρ} = Band-specific additive rescaling factor from the metadata (REFLECTANCE_ADD_BAND_x, where x is the band number)
- Q_{cal} = Quantized and calibrated standard product pixel values (DN)



LandSat 8

Ciências
ULisboa

```
GROUP = L1_METADATA_FILE
GROUP = METADATA_FILE_INFO
ORIGIN = "Image courtesy of the U.S. Geological Survey"
REQUEST_ID = "0501505116091_00442"
LANDSAT_SCENE_ID = "LC82040332015001LGN00"
FILE_DATE = 2015-05-12T16:55:09Z
STATION_ID = "LGN"
PROCESSING_SOFTWARE_VERSION = "LPGS_2.5.0"
END_GROUP = METADATA_FILE_INFO
```

```
RADIANCE_MAXIMUM_BAND_1 = 786.09534
RADIANCE_MINIMUM_BAND_1 = -64.91601
RADIANCE_MAXIMUM_BAND_2 = 804.97119
RADIANCE_MINIMUM_BAND_2 = -66.47478
RADIANCE_MAXIMUM_BAND_3 = 741.77411
RADIANCE_MINIMUM_BAND_3 = -61.25595
RADIANCE_MAXIMUM_BAND_4 = 625.50568
RADIANCE_MINIMUM_BAND_4 = -51.65446
RADIANCE_MAXIMUM_BAND_5 = 382.77829
RADIANCE_MINIMUM_BAND_5 = -31.60996
RADIANCE_MAXIMUM_BAND_6 = 95.19348
RADIANCE_MINIMUM_BAND_6 = -7.86111
RADIANCE_MAXIMUM_BAND_7 = 32.08530
RADIANCE_MINIMUM_BAND_7 = -2.64961
RADIANCE_MAXIMUM_BAND_8 = 707.90033
RADIANCE_MINIMUM_BAND_8 = -58.45864
RADIANCE_MAXIMUM_BAND_9 = 149.59843
RADIANCE_MINIMUM_BAND_9 = -12.35389
RADIANCE_MAXIMUM_BAND_10 = 22.00180
RADIANCE_MINIMUM_BAND_10 = 0.10033
RADIANCE_MAXIMUM_BAND_11 = 22.00180
RADIANCE_MINIMUM_BAND_11 = 0.10033
```

$$L_{\lambda} = \left(\frac{L_{max,\lambda} - L_{min,\lambda}}{Q_{cal,max} - Q_{cal,min}} \right) \cdot (Q_{cal} - Q_{cal,min}) + L_{min,\lambda}$$

```
RADIANCE_MULT_BAND_1 = 1.2986E-02
RADIANCE_MULT_BAND_2 = 1.3298E-02
RADIANCE_MULT_BAND_3 = 1.2254E-02
RADIANCE_MULT_BAND_4 = 1.0333E-02
RADIANCE_MULT_BAND_5 = 6.3233E-03
RADIANCE_MULT_BAND_6 = 1.5725E-03
RADIANCE_MULT_BAND_7 = 5.3003E-04
RADIANCE_MULT_BAND_8 = 1.1694E-02
RADIANCE_MULT_BAND_9 = 2.4713E-03
RADIANCE_MULT_BAND_10 = 3.3420E-04
RADIANCE_MULT_BAND_11 = 3.3420E-04
```

```
RADIANCE_ADD_BAND_1 = -64.92899
RADIANCE_ADD_BAND_2 = -66.48808
RADIANCE_ADD_BAND_3 = -61.26820
RADIANCE_ADD_BAND_4 = -51.66480
RADIANCE_ADD_BAND_5 = -31.61628
RADIANCE_ADD_BAND_6 = -7.86268
RADIANCE_ADD_BAND_7 = -2.65014
RADIANCE_ADD_BAND_8 = -58.47033
RADIANCE_ADD_BAND_9 = -12.35636
RADIANCE_ADD_BAND_10 = 0.10000
RADIANCE_ADD_BAND_11 = 0.10000
```



Question:

Where can I find the solar exoatmospheric spectral irradiances (ESUN) values for Landsat 8 OLI data?

Answer:

ESUN values are not provided for Landsat 8 data because they are not required for converting data to reflectance. Landsat 8's Operational Land Imager (OLI) adopted two independent National Institute for Standards and Technology (NIST) traceable radiance and reflectance calibration methods. The Landsat 8 metadata file provides coefficients necessary to convert to radiance and reflectance from the quantized and calibrated Digital Numbers (DNs) of the product

(see http://landsat.usgs.gov/Landsat8_Using_Product.php). Thus, ESUN values are not required for reflectance conversion.

Relative Spectral Response (RSR) of the OLI spectral bands can be found on http://ldcm.gsfc.nasa.gov/spacecraft_instruments/oli_band_average.html and used along with the user's preferred solar spectrum to calculate ESUN values corresponding to Landsat 8 OLI bands. (NOTE: ESUN values calculated from RSRs were not used for OLI calibration).



LandSat 8

Ciências
ULisboa

TOA reflectance with a correction for the sun angle is then:

$$\rho_{\lambda} = \frac{\rho_{\lambda}'}{\cos(\theta_{SZ})} = \frac{\rho_{\lambda}'}{\sin(\theta_{SE})}$$

where:

ρ_{λ} = TOA planetary reflectance

θ_{SE} = Local sun elevation angle. The scene center sun elevation angle in degrees is provided in the metadata (SUN_ELEVATION).

θ_{SZ} = Local solar zenith angle; $\theta_{SZ} = 90^{\circ} - \theta_{SE}$

For more accurate reflectance calculations, per pixel solar angles could be used instead of the scene center solar angle, but per pixel solar zenith angles are not currently provided with the Landsat 8 products.

REFLECTANCE_MULT_BAND_1 = 2.0000E-05

REFLECTANCE_ADD_BAND_1 = -0.100000

```
GROUP = IMAGE_ATTRIBUTES
CLOUD_COVER = 0.49
CLOUD_COVER_LAND = 0.75
IMAGE_QUALITY_OLI = 9
IMAGE_QUALITY_TIRS = 9
TIRS_SSM_POSITION_STATUS = "ESTIMATED"
ROLL_ANGLE = -0.001
SUN_AZIMUTH = 158.52732765
SUN_ELEVATION = 25.19344132
EARTH_SUN_DISTANCE = 0.9833024
GROUND_CONTROL_POINTS_VERSION = 2
GROUND_CONTROL_POINTS_MODEL = 408
GEOMETRIC_RMSE_MODEL = 8.874
GEOMETRIC_RMSE_MODEL_Y = 7.353
GEOMETRIC_RMSE_MODEL_X = 4.968
GROUND_CONTROL_POINTS_VERIFY = 111
GEOMETRIC_RMSE_VERIFY = 4.466
END_GROUP = IMAGE_ATTRIBUTES
```

Exercício

1. Calcule a irradiância solar no topo da atmosfera. Considere que a temperatura do Sol é de cerca 5800°K . O seu raio é $r = 6.96 \cdot 10^8 \text{ m}$ e a sua distância à Terra $D = 1.50 \cdot 10^{11} \text{ m}$.
2. De acordo com a lei do deslocamento de Wiens qual é o comprimento de onda de máxima emissividade do Sol? (considere a temperatura de 5800 K)
3. Considere um pixel com os valores (75, 36, 29, 123, 103) nas primeiras 5 bandas de uma imagem Landsat 7 ETM+. Quais os valores de radiância espectral para o pixel nas 5 bandas?
4. Considerando os dados do problema 3, determine o valor do índice de vegetação NDVI para esse pixel e interprete o valor. A imagem foi adquirida no dia 6 de Julho de 2007. O Sol tinha no momento da aquisição da imagem num azimute de 122.8° e uma elevação de 64.5° .



Exercício

4.5 Sabendo que a irradiância espectral no topo da atmosfera é em média $1039 \text{ Wm}^{-2} \mu\text{m}^{-1}$ para a banda 4 do Landsat ($0.772\text{-}0.898\mu\text{m}$), que a transmissividade atmosférica na direção do Sol é 0.91 e que a radiação difusa é nula para essa banda, estime a irradiância à superfície para essa banda.

4.6 Suponha que um determinado pixel na banda ($0.79\text{-}0.89 \mu\text{m}$) tem um valor de radiância de $90 \text{ W m}^{-2} \text{ sr}^{-1} \mu\text{m}^{-1}$ e que a irradiância à superfície nessa banda na altura da aquisição da imagem é de $900 \text{ W m}^{-2} \mu\text{m}^{-1}$. Suponha ainda que a transmissividade atmosférica na direção do sensor nessa banda do espectro é de 0.91. Com base na informação de que dispõe estime a reflectância da parcela de terreno correspondente a esse pixel da imagem.

$$L_{\lambda}^s(x, y) = \rho(x, y, \lambda) \frac{\tau_v(\lambda)}{\pi} \{ \tau_s(\lambda) E_{\lambda}^0 \cos(\theta(x, y)) + F(x, y) \cdot E_{\lambda}^d \} + L_{\lambda}^{\text{sp}}(x, y)$$